

## بررسی تأثیر نانوذرات دیاکسید سریم بر خواص فیزیکی پوشش شفاف پلی‌یورتانی

اکبر مستوری<sup>۱</sup>  
محمد آزاد فلاح<sup>۲\*</sup>  
اصغر طارمیان<sup>۳</sup>  
داود افهامی سیسی<sup>۴</sup>

<sup>۱</sup>دانشجوی کارشناسی ارشد گروه علوم و صنایع چوب و کاغذ، دانشکده منابع طبیعی، دانشگاه تهران، کرج، ایران  
<sup>۲</sup>استادیار گروه علوم و صنایع چوب و کاغذ، دانشکده منابع طبیعی، دانشگاه تهران، کرج، ایران  
<sup>۳</sup>دانشیار گروه علوم و صنایع چوب و کاغذ، دانشکده منابع طبیعی، دانشگاه تهران، کرج، ایران  
<sup>۴</sup>استادیار گروه علوم و صنایع چوب و کاغذ، دانشکده منابع طبیعی، دانشگاه تهران، کرج، ایران

مسئول مکاتبات:  
[adfallah@ut.ac.ir](mailto:adfallah@ut.ac.ir)

تاریخ دریافت: ۱۳۹۵/۱۲/۲۳  
تاریخ پذیرش: ۱۳۹۶/۰۵/۲۰

### چکیده

در این مطالعه تأثیر نانوذرات دیاکسید سریم ( $\text{CeO}_2$ ) و اثرات ترکیبی آن به همراه نانو سیلیس چهت بهبود خواص فیزیکی پوشش شفاف پلی‌یورتان بر روی چوب اصلاح حرارتی شده گونه نوئل (*Picea abies*) مورد بررسی قرار گرفت. برای این منظور فرمولاسیونی از پوشش‌های پلی‌یورتانی حاوی مقادیر مختلف از نانوذرات پس از آماده‌سازی بر روی سطح چوب اصلاح حرارتی اعمال شدند. حضور نانوذرات در ساختار پوشش نانوکامپوزیتی پلی‌یورتانی با طیف‌بینی پراش انرژی پرتوایکس (EDS) تأیید شد. سپس چهت بررسی اثرات نانوذرات بر کیفیت پوشش، خواص چسبندگی، زبری سطح و سختی مورد ارزیابی قرار گرفتند. نتایج نشان داد که استفاده از دیاکسید سریم با کاهش زبری و افزایش مقاومت به چسبندگی، خواص سطحی پوشش پلی‌یورتان بر روی چوب اصلاح حرارتی شده را بهبود داد. علاوه بر آن سختی پوشش پلی‌یورتان در حضور دیاکسید سریم افزایش یافت. همچنین نانو سیلیس همراه با دیاکسید سریم در زمینه پلیمری، عملکرد چسبندگی و زبری پوشش‌های نانو کامپوزیتی را تقویت کرد.

**واژگان کلیدی:** نانوذرات، پوشش پلی‌یورتانی، چسبندگی، سختی، زبری سطح.

سرویس برخوردار باشند. به طور مثال در مقابل تخریب ناشی از عوامل جوی و رطوبت باید دارای مقاومت کافی باشند. از طرفی تیمار حرارتی مقاومت به چسبندگی پوشش‌های شفاف بر روی گونه‌های مختلف سوزنی برگ و پهن برگ را تحت تأثیر قرار می‌دهد [۵]. به همین دلیل از مواد جاذب فرابینفس آلی یا معدنی در ساختار پوشش‌ها استفاده می‌شود تا با حفظ ساختار آن به بهبود عملکرد آن کم کنند. در اثر افزودن این مواد ممکن است سایر خواص فیزیکی و مکانیکی پوشش‌ها مانند چسبندگی، مقاومت به سایش، خراش و سختی نیز تحت تأثیر قرار گیرند [۶]. در تحقیقی Mills و همکاران (۲۰۱۲) تأثیر

### مقدمه

تیمار حرارتی یکی از روش‌های اصلاحی پیشنهادشده برای بهبود ثبات ابعاد و دوام چوب، بدون استفاده از مواد شیمیایی بوده و دوستدار محیط‌زیست است [۱ و ۲]. تیمار حرارتی باعث ثبات رنگ چوب طی هوازدگی می‌شود [۳]، اما به تنها یکی و بدون حفاظت تکمیلی قادر به حفاظت همه جانبه از اجزای سازنده چوب به ویژه لیگنین در مقابل اشعه ماوراء بنفش و شرایط جوی نیست [۴]. استفاده از پوشش‌های حفاظتی می‌تواند یکی از روش‌های مؤثر برای جبران ضعف این قبیل چوب‌ها باشد. برای این منظور پوشش‌های چوب باید از عملکرد مناسبی در شرایط

شده می‌پردازد. همچنین در این تحقیق برای جلوگیری از افت چسبندگی پوشش بر روی گونه‌های نرم‌چوب<sup>۱</sup> و اثر تخریبی پلی ساکاریدها در دمای بالا، از نمونه اصلاح حرارتی شده در دمای ۱۸۵ درجه سانتی گراد که از لحاظ تغییرات ظاهری و بهبود ثبات ابعاد به استاندارد ترمو S<sup>۲</sup> معروف است استفاده شد.

## مواد و روش‌ها

### مواد

در این پژوهش از چوب اصلاح حرارتی شده گونه نوئل (Picea abies) با جرم مخصوص خشک ۰/۳۸ گرم بر سانتی‌متر مکعب استفاده شد. فرایند اصلاح حرارتی و تولید فراورده ترموموود در دمای ۱۸۵ درجه سانتی گراد و طی پروسه تولید ترموموود نوع S انجام شد. نمونه‌های اصلاح حرارتی شده بعد از برش در شرایط رطوبت نسبی ۶۵ درصد و دمای ۲۳ درجه سانتی گراد متعادل‌سازی شدند. میانگین رطوبت نمونه‌ها حدود ۶ درصد اندازه‌گیری شد. درنهایت نمونه‌های سالم و بدون گره، چوب واکنشی، پوسیدگی و غیره بعد از اعمال پوشش به ابعاد نهایی ۱۰×۸×۲ (L×T×R) سانتی‌متر جهت ساخت آزمونه‌های مماسی برش خوردن.

از پوشش پلی‌یورتان دوجزئی پایه حلال محصول شرکت پارس اشن برای پوشش‌دهی سطح نمونه‌ها استفاده شد. پوشش پلی‌یورتان از دو جزء رزین پلی‌ال و سخت‌کننده ایزوسیانات تشکیل شده است (جدول ۱). تینر مخصوص رزین پلی‌یورتان با کد تجاری TP10 به میزان ۵ درصد رزین پلی‌ال جهت رقیق‌سازی مصرف شد. نانو دیاکسید سریم از شرکت US Reserch Nanomaterials, Inc (3302 twig leaflane, Hoston, TX77084, USA) دارای اجزای ذکر شده در جدول ۲ نمایش داده شده است.

### آماده‌سازی پوشش نانو کامپوزیتی

ترکیب زمینه پلیمری پلی‌یورتان با توجه به نسبت‌های اختلاطی اجزای ذکر شده در جدول شماره ۱ ساخته شد.

استفاده از نانوذرات سیلیکا را بر روی بهبود خواص پوشش پلی‌یورتان بررسی نمودند. نتایج این تحقیق نشان داد که با اضافه کردن نانوذرات به پوشش، خواص مکانیکی آن بهبود می‌یابد [۷]. برخی از نانوذرات در صورتی که به صورت یکنواخت در پوشش پراکنده شده و یک پراکننده پایدار تشکیل دهنده، این قابلیت را دارند که ویژگی‌هایی مانند چسبندگی، پایداری در مقابل رطوبت، سایش و سختی همین طور مقاومت در برابر عوامل جوی را به نحو چشم‌گیری بهبود دهند [۸ و ۹]. در این خصوص Saadat-Monfared و همکاران (۲۰۱۴) طی تحقیقاتی نشان دادند که نانو دیاکسید سریم (سریا) واردشده در ساختار پوشش پلی‌یورتان شفاف با پراکنش مناسب، به صورت مؤثرتری اشعه UV را جذب می‌کند. علاوه بر این خصوصیات مکانیکی پوشش‌های پلی‌یورتانی (سختی، مقاومت به خراش) به صورت قابل ملاحظه‌ای در حضور دیاکسید سریم بهبود می‌یابد [۱۰]. تأثیر افزودن نانوذرات سیلیکا و آلومینا با غلظت ۱، ۲ و ۳ درصد در فرمولاسیون پوشش‌های پلی‌یورتان پایه آب پس از اعمال بر روی چوب توسط Sow و همکاران (۲۰۱۱) بررسی شد. نتایج این تحقیق حاکی از آن بود که میزان چسبندگی پوشش پلی‌یورتان در حضور نانوذرات افزایش یافت اما غلظت‌های پایین نانوذرات به دلیل عدم کلوخه‌ای شدن نتایج بهتری از چسبندگی را نسبت به نمونه‌های بدون نانوذرات نشان دادند [۱۱]. به طور کلی نانوذرات متفاوتی در زمینه بهبود خواص پوشش‌ها مورد توجه می‌باشد. در این میان اثرات نانو سریا (دیاکسید سریم) و خواص ترکیبی نانوذرات اخیراً به دلیل خواص فرآگیر نوری و مکانیکی به‌طور گستردگی در حال بررسی است؛ اما با این وجود تحقیقات زیادی در زمینه بهبود خواص چسبندگی و زبری پوشش پلی‌یورتان در حضور نانو دیاکسید سریم صورت نگرفته است. زبری سطح یکی از فاکتورهای مهم بر میزان چسبندگی سطح است [۱۲]. به همین جهت با توجه به اهمیت تأثیر عوامل مؤثر بر بهبود چسبندگی و خواص سطحی پوشش پلی‌یورتان، مطالعه حاضر به بررسی تأثیر نانوذرات دیاکسید سریم و اثرات ترکیبی آن با سیلیس بر بهبود چسبندگی و خواص سطحی پوشش پلی‌یورتان بر روی چوب اصلاح حرارتی

<sup>1</sup> Softwood

<sup>2</sup> Stability

جدول ۱- مشخصات مواد مورداستفاده در ساخت زمینه پلیمری (شرکت پارس اشن)

مواد سازنده	کد تجاری	نسبت اختلاط وزنی (%)	ماده جامد (%)
پلی ال	PGL 95	۶۷	۵۰
ایزوسیانات	HPL 10	۳۳	

جدول ۲- مشخصات نانوذرات استفاده شده در زمینه پلیمری (US Reserch Nanomaterials, Inc)

نانوذره	اندازه ذرات (nm)	خلوص (%)	دانسیته واقعی (g/cm <sup>3</sup> )	سطح ویژه (m <sup>2</sup> /gr)
CeO <sub>2</sub>	۳۰-۱۰	۹۹/۹۷	۷/۱۲۲	۵۰-۳۰
SiO <sub>2</sub>	۲۰-۱۵	۹۹/۵	۲/۴	۶۴۰

### پرداخت سطح و پوشش دهی

پس از ماشین کاری و برش، جهت یکنواخت سازی و از بین بردن ناهمواری های سطح، عملیات پرداخت و سنباده زنی انجام شد. مراحل پرداخت به ترتیب با ۳ درجه سمباده ۱۲۰، ۱۸۰ و درنهایت سمباده نرم ۲۲۰ با استفاده از سمباده لرزان برقی صورت پذیرفت. برای افزایش دقت و یکنواختی پوشش دهی عملیات برش در دو مرحله انجام گرفت. مرحله اول بعد از متعادل سازی رطوبت بر روی ابعاد تقریبی و برش ابعاد نهایی بعد از اعمال پوشش دهی انجام گرفت. پوشش دهی با دستگاه فیلم کش چهار طرفه<sup>۱</sup> با حداکثر ضخامت تر ۲۰۰ میکرومتر و عرض ده سانتی متر (عرض مفید پوشش دهی ۸ سانتی متر) بر روی سطح مماسی نمونه ها انجام شد. برای این کار پوشش حفاظتی بعد از آماده سازی به صورت دقیق بر روی نمونه ها اعمال شد. برای دستیابی به ضخامت مناسبی از پوشش بر روی نمونه ها، پوشش دهی در دو مرحله تکرار شد. ابتدا پوششی با ضخامت فیلم تر ۱۰۰ میکرومتر و سپس پوششی با ضخامت ۱۵۰ میکرومتر بر روی نمونه ها اعمال شد. فاصله بین دو پوشش دهی متواالی با توجه به حداقل زمان لازم برای خشک شدن سطحی (۱ تا ۱/۵ ساعت) بنا به دستور العمل کارخانه سازنده، حدود یک ساعت تنظیم شد. برای جلوگیری از عدم پیوستگی لایه های پوشش و کاهش خواص چسبندگی از فواصل خیلی طولانی بین پوشش دهی دومی اجتناب شد.

سپس پوشش های مختلف حفاظتی با غلظت های (۰/۰۵ و ۰/۲۵) درصد از دی اکسید سریم و اثرات ترکیبی این غلظت ها با ۲ درصد نانو سیلیس تهیه شدند. با توجه به این که بخش دی ایزوسیانات (به عنوان هاردнер) رقیق تر از جزء پلی ال رزین پلی یورتان بود؛ لذا برای دستیابی به یک پراکنش و توزیع مناسب، نانو ذرات ابتدا در جزء هاردner و حلal پراکنده و درنهایت محلول و سوسپانسیون شامل نانو ذرات به جزء پلی ال اضافه شدند. برای این کار ابتدا مقدار درصد های مشخص شده از نانو ذرات با جزء هاردner و تینر مخلوط شده به مدت ۲۰ دقیقه در ظرف درسته با همزن مغناطیسی با دور RPM ۱۰۰۰ هم زده شد. سپس نانوذرات دیسپرس (پراکنده) شده در جزء ایزوسیانات با پلی ال ترکیب شد و درنهایت به منظور پراکنش مناسب ترکیب اجزای سازنده، پوشش حفاظتی نهایی به کمک همزن مغناطیسی به مدت ۱۰ دقیقه مجدد هم زده شدند. ضمناً با استفاده از فویل آلومینیومی از تبخیر مواد در حین پروسه اصلاح ممانعت به عمل آمد. پس از اتمام این مرحله پوشش حفاظتی به مدت چند دقیقه توسط حمام اولتراسونیک مدل Labsonic LBS 1 - H3 توسط امواج فرماصوتی به منظور حذف حباب داخل رزین و توزیع مناسب نانوذرات در زمینه پلیمری عمل آوری شد. سپس پوشش نهایی به محل مناسب و بدون گردوغبار جهت اعمال بر روی چوب های آزمایشی پرداخت شده منتقل شد.

<sup>۱</sup> Four-sided Applicator

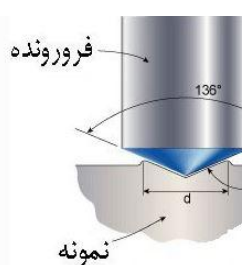
X ۴۰۰ با اعمال ۲ گرم نیرو<sup>۱</sup> در شرایط محیطی ۵۵٪ رطوبت نسبی و دمای ۲۲ درجه سانتی گراد مطابق استاندارد ۱۶ - ۹۲ ASTM E92 انجام گرفت. فرورونده بکار رفته در این روش، الماس هرمی با قاعده‌ی مربع شکل است که سطوح مقابل آن با زاویه ۱۳۶ درجه به یکدیگر می‌رسند (شکل ۱). مقدار سختی پوشش‌های نانوکامپوزیتی پس از آزمایش توسط رابطه ۱ به دست می‌آید.

$$HV = \frac{F}{A} \approx 1.8544 F / d^2 \left[ \frac{\text{kgf}}{\text{mm}^2} \right] \quad \text{رابطه (۱)}$$

در رابطه ۱، F برابر با نیرو؛ A برابر با مساحت سطح اثر دائمی؛ و d برابر با قطر اثر فرورونده در سطح نمونه است.

### اندازه‌گیری زبری سطح

از دستگاه زبری سنج مدل SJ-201P ساخت شرکت Mitutoyo کشور ژاپن برای اندازه‌گیری کیفیت زبری سطح نمونه‌ها استفاده شد. مکانیسم کار این دستگاه به این صورت است که داری دو قسمت ثابت و متحرک است. قسمت ثابت، شامل صفحه نمایش و دیگر اجزای دستگاه است. قسمت متحرک دستگاه بخش سنسور قرار دارد که برای هر بار محاسبه زبری، مسافت ۱ سانتی‌متر را با سرعت ۵/۰ mm/s نموده و نتیجه را نمایش می‌دهد. از پارامتر میانگین زبری (Ra) و زبری میانگین ارتفاع قله به دره (Rz) برای ارزیابی تأثیر نانوذرات بر کیفیت سطح پوشش نانوکامپوزیتی استفاده شد.



### مطالعات میکروسکوپ فلوئورسنت

برای اندازه‌گیری ضخامت فیلم پوشش و بررسی عمق نفوذ پوشش پلی‌یورتان در بافت چوب از دستگاه میکروسکوپ فلوئورسنت مدل EURKAM5/0 ساخت کشور ایتالیا استفاده شد. برای این منظور از رنگینه<sup>۱</sup> فلوئورسنت (طول موج ۵۴۰ نانومتر) روdamین جهت شناسایی پوشش توسط میکروسکوپ فلوئورسنت استفاده شد.

### اندازه‌گیری مقاومت به چسبندگی

چسبندگی پوشش‌های نانوکامپوزیتی پلی‌یورتانی طبق استاندارد ASTM 4541 و با دستگاه آزمون چسبندگی کششی<sup>۲</sup> ساخت کشور آمریکا و با سرعت کشش ۰/۳ مگاپاسگال بر ثانیه انجام شد. در این روش ابتدا یک صفحه نازک فلزی به اسم دالی<sup>۳</sup>، به قطر ۲۰ میلی‌متر با چسب مخصوص اپوکسی دوجزئی به سطح پوشش مورد آزمایش محکم چسبانده شد. سپس بعد از ۴۸ ساعت مقاومت چسبندگی به روش پول آف اندازه‌گیری شد. طی این عمل نیروی کششی وارد ب پوشش زیرین آن از سطح پایه جدا شود. در این زمان حداکثر نیروی وارد بر صفحه در آخرین لحظه معیار محاسبات قرار می‌گیرد.

### اندازه‌گیری سختی نانو پوشش‌ها

سختی پوشش‌های نانوکامپوزیتی با دستگاه میکروسختی سنج ویکرز<sup>۴</sup> مدل MVK-H21 با بزرگنمایی



شکل ۱- میکروسختی سنج ویکرز (سمت راست، فرورونده - سمت چپ، شکل نوک فرورونده و رد اثر)

<sup>1</sup> Dye

<sup>2</sup> Pull Off

<sup>3</sup> Dolly

<sup>4</sup> Vickers Microhardness

<sup>5</sup> Gram-force

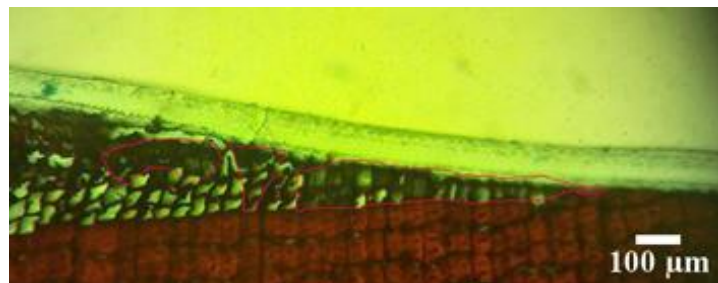
علی‌رغم تأیید تشکیل فیلم پوشش در سطح چوب، نفوذ مشخصی از پوشش به داخل بافت چوب به خصوص در ناحیه متراکم چوب پایان مشاهده نمی‌شود. این وضعیت را می‌توان به وزن مولکولی بالای پلی‌یورتان و ویسکوزیته نسبتاً زیاد پوشش در حین اعمال نسبت داد. علاوه بر این ایجاد تغییرات مورفولوژیکی احتمالی در ساختار تراکیدها مثل بسته شدن منافذ و کلایپس در حین تیمار حرارتی می‌تواند این وضعیت را تشدید نماید. با این وجود در قسمت چوب بهاره بررسی تصاویر میکروسکوپ فلوئورسنتی حاکی از نفوذ پوشش پلی‌یورتان در دو لایه سلول سطح بود که نشان از نفوذ بیشتر پوشش در سلول‌هایی با قطر زیاد و فراخ چوب آغاز در مقایسه با چوب پایان است [۱۳].

**طیف بینی پراش انرژی پرتو ایکس**  
از طیفبینی پراش انرژی پرتو ایکس (EDS)<sup>۱</sup> مدل 3-XMU Mira وجود نانوذرات در زمینه پلیمری پوشش‌های نانوکامپوزیتی استفاده شد.

## نتایج و بحث

### مطالعات میکروسکوپ فلوئورسنتی

نتایج ارزیابی تصاویر میکروسکوپی حاصل از مقطع عرضی چوب نوئل حاکی از تشکیل فیلم پوشش با ضخامت  $85 \pm 6$  میکرومتر بر سطح چوب گونه نوئل بود. مطابق با تصاویر میکروسکوپ نوری فلوئورسنت (شکل ۲)

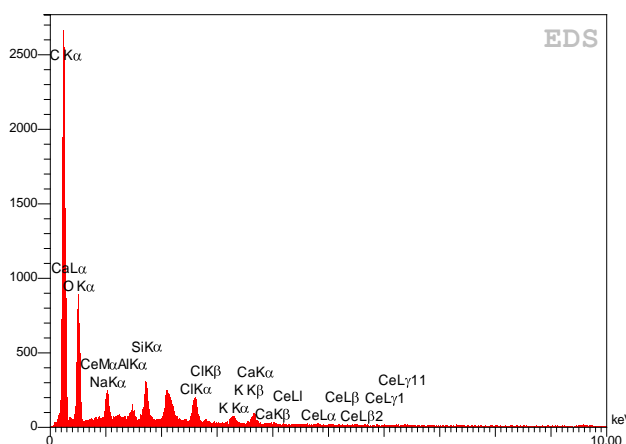


شکل ۲- تصویر میکروسکوپ نوری فلوئورسنت از مقطع عرضی چوب اصلاح حرارتی شده نوئل با پوشش پلی‌یورتان (بزرگنمایی ۱۰x)

گزارش شده است. آنالیز پراش پرتو ایکس و حضور پیک‌های مربوطه وجود نانوذرات سریا و سیلیکا را در زمینه پلیمری پوشش پلی‌یورتان را تأیید کرد.

### آنالیز EDS

نتایج طیف بینی EDS مربوط به پوشش نانوکامپوزیتی ترکیبی حاوی دی‌اکسید سریم و سیلیس در شکل ۳



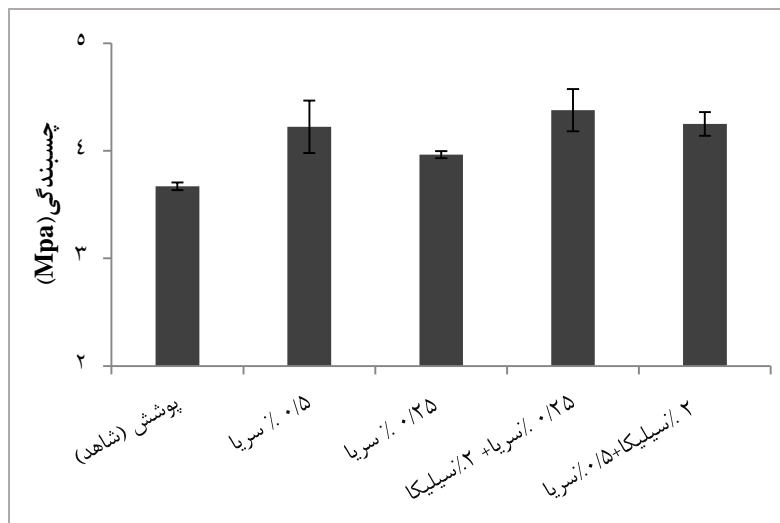
شکل ۳- طیف EDS از سطح پوشش نانوکامپوزیتی ترکیبی (۵٪ درصد سریم، ۲٪ درصد سیلیس)

<sup>۱</sup> - Energy-dispersive X-ray Spectroscopy

چسبندگی پوشش را افزایش دادند. به طوری که پوشش نانوکامپوزیتی ترکیبی حاوی ۰/۲۵ درصد سریم همراه با ۲ درصد سیلیس مقاومت به چسبندگی پوشش پلییورتان را به مقدار ۱۹ درصد افزایش داد.

### مقاومت به چسبندگی

نتایج آزمون تعیین مقاومت چسبندگی نشان داد که پوشش‌های کامپوزیتی در مقایسه با نمونه شاهد از میزان چسبندگی خوبی برخوردار بودند. با توجه به شکل ۴ نتایج حاکی از آن بود که نانوذرات دیاکسید سریم مقاومت به



شکل ۴ - مقاومت به چسبندگی پوشش‌های نانو کامپوزیتی حاوی نانوذرات سریما و ذرات سیلیکا بر روی چوب اصلاح حرارتی شده نوئل

درواقع بهبود چسبندگی پوشش‌های کامپوزیتی با افزایش غلظت دیاکسید سریم، به نظر حاکی از عدم کلوخهای شدن دیاکسید سریم و عملکرد بهتر آن در غلظت‌های بالاست. تحقیقات نشان دادند که همبستگی زیادی بین سطح شکست و مقاومت به چسبندگی پوشش وجود دارد. به طوری با افزایش مقاومت چسبندگی پوشش به سطح چوب، سطح شکست رخ داده در چوب نیز افزایش می‌یابد [۱۴]. لذا در گونه‌های با دانسیته پایین از جمله سوزنی برگان به دلیل اتصال ضعیف الیاف سطحی، احتمال شکست این گونه‌ها در اثر چسبندگی به مراتب بیشتر می‌شود. تحقیقات Kesik و Akyildiz [۱۵] نشان داد که بیشترین میزان چسبندگی مربوط به گونه‌های با دانسیته بالا و پهن برگان بود در حالی که سوزنی برگان مقاومت چسبندگی کمتری داشتند [۵]. علاوه بر این مقاومت بالای چسبندگی زمینه پلیمری احتمال سطح شکست را افزایش می‌دهد. همان‌طوری که در شکل ۵ مشاهده می‌شود، سطح شکست بالاتر پوشش‌های نانو

افزودن ۰/۵ درصد دیاکسید سریم مقاومت چسبندگی پوشش را ۱۵ درصد افزایش داد. این در حالی است استفاده از ۰/۲۵ درصد دیاکسید سریم نیز عملکرد بهتری نسبت به پوشش خالص پلییورتانی نشان داد. با توجه به نتایج آزمون چسبندگی مقاومت به چسبندگی پوشش پلییورتان در حضور نانو ذرات دیاکسید سریم بهبود یافت. این در حالی است که افزودن ۲ درصد نانو سیلیکا به زمینه پلیمری همراه با دیاکسید سریم عملکرد چسبندگی را دوچندان کرد. تحقیقات Sow و همکاران [۲۰/۱۱] نیز حاکی از بهبود چسبندگی پوشش پلییورتان در حضور نانو سیلیکا و سیلیکا بود؛ همچنین آن‌ها بیان کردند که استفاده از غلظت‌های بالای سیلیکا به دلیل سطح ویژه بالا و احتمال کلوخهای شدن مقاومت به چسبندگی را کاهش می‌دهد؛ اما استفاده از ۱ درصد سیلیکا در صورت پراکنش مناسب خاصیت چسبندگی را افزایش می‌دهد [۱۱]. با افزایش غلظت دیاکسید سریم کاهشی در خواص چسبندگی پوشش مشاهده نشد.

مقاومت چسبندگی پوشش پلی‌یورتان به سطح چوب را افزایش داد.

کامپوزیتی در مقایسه با پوشش خالص پلی‌یورتان تأثیرگذار نانوذرات است. همچنین استفاده از دی‌اکسید سریم همراه با سیلیس در زمینه پلیمری



شکل ۵- سطح شکست پوشش‌های نانوکامپوزیتی حاوی ۰/۰ درصد سریم (۳) و ۰/۲۵ درصد سریم (۲) در اثر آزمون چسبندگی کششی و پوشش بدون نانوذره (۱) در اثر آزمون چسبندگی کششی

شد. مطابقت نتایج پارامترهای زبری نشان‌دهنده تأثیر مثبت نانو ذرات بر بهبود زبری سطح بود. با توجه به نتایج فاکتور زبری  $R_z$ ، بیشترین میانگین اختلاف ارتفاع به دره مربوط به پوشش خالص پلی‌یورتان بود. تحقیقات مربوط به پوشش خالص پلی‌یورتان (۲۰۱۴) نشان داد که با افزایش غلظت نانو ذرات و کاهش میزان ماندگاری براقیت، زبری سطح بیشتر می‌شود [۱۵]. درواقع همبستگی خیلی زیادی بین ماندگاری براقیت و زبری سطح پوشش وجود دارد [۱۵ و ۱۶ و ۱۷]. تحقیقات Vlad-Cristea و همکاران (۲۰۱۲) حاکی از آن بود که استفاده از نانو اکسید روی و تیتانیوم به دلیل بهبود براقیت سطح در غلظت‌های بالا، میزان زبری سطح را قبل و بعد از شرایط کهنگی و هوازدگی تسریع شده کاهش می‌دهد. همچنین تحقیقات آن‌ها بیان کردند که افزودن ۱ درصد سیلیکا به پوشش حاوی این نانوذرات از ناهمگنی سطح می‌کاهد [۱۷].

### سختی پوشش‌ها

نتایج حاصل از بررسی سختی پوشش‌های نانوکامپوزیتی نشان داد که سختی همه پوشش‌های نانو کامپوزیتی در حضور نانوذرات اعمال شده بر روی چوب اصلاح حرارتی شده در مقایسه با پوشش شاهد بیشتر بود (شکل ۸). بیشترین میزان سختی با مقدار  $9/75 \text{ kgf/mm}^2$  به ترتیب مربوط به پوشش کامپوزیتی ۰/۵ درصد دی‌اکسید سریم بود. به طوری که استفاده از

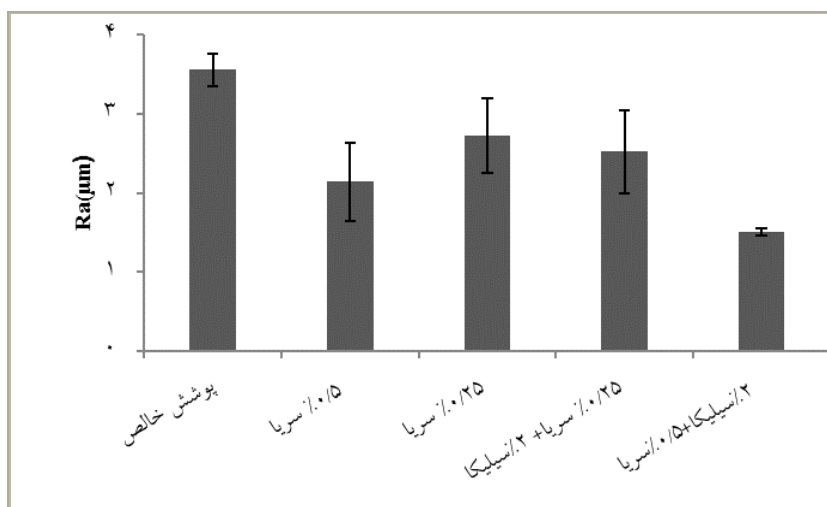
### زبری سطح

بررسی کیفیت سطح پوشش‌های کامپوزیتی در حضور نانوذرات دی‌اکسید سریم نشان داد که زبری سطح پوشش پلی‌یورتان در حضور نانو سریم کاهش یافت. به طوری که بیشترین زبری سطح مربوط به پوشش خالص پلی‌یورتان بود. نتایج مربوط به فاکورهای  $R_a$  و  $R_z$  به عنوان پارامترهای زبری سطح به ترتیب در شکل‌های ۶ و ۷ نمایش داده شده است. مقایسه فاکتورهای زبری سطح پوشش‌های نانوکامپوزیتی و شاهد حاکی از زبری زیاد سطح پوشش خالص در مقایسه با پوشش‌های حاوی نانو ذرات است. با توجه به نتایج پارامترهای زبری وجود نانو سیلیس همراه با دی‌اکسید سریم باعث کاهش زبری سطح پوشش‌های کامپوزیتی و عملکرد بهتر پوشش پلی‌یورتان شد. به طوری که استفاده از ۰/۵ درصد دی‌اکسید سریم همراه با ۲ درصد سیلیس در زمینه پلیمری، میزان میانگین زبری سطح پوشش را به میزان ۵۸ درصد کاهش داد که این نشان‌دهنده اثر هم‌افزایی<sup>۱</sup> خوب نانو ذرات در راستای بهبود خواص فیزیکی و مکانیکی پوشش حفاظتی در غلظت‌های پایین است. مقایسه نتایج تیمارهای مختلف حاکی از عملکرد چشم‌گیر دی‌اکسید سریم در بهبود کیفیت سطح پوشش پلی‌یورتان بود. به طوری که افزایش غلظت دی‌اکسید سریم سبب کاهش بیشتر زبری سطح

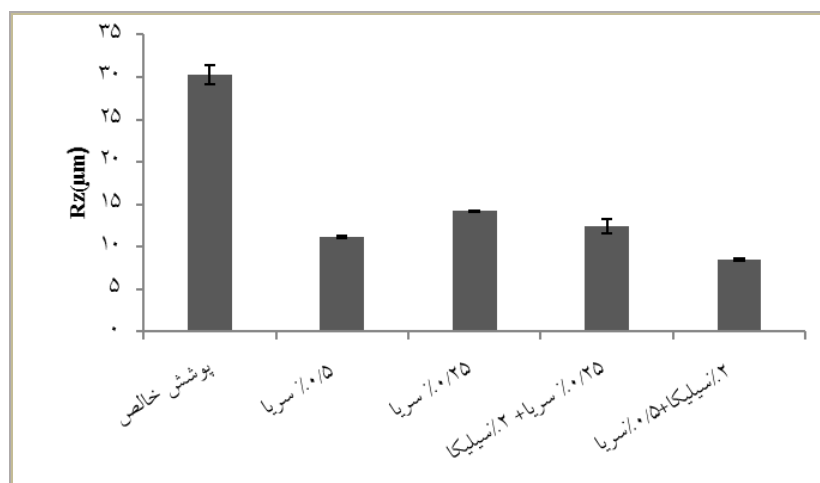
<sup>1</sup> Synergistic

درصد دیاکسید سریم به میزان ۱۵ درصد سختی پوشش

پلییورتان را بهبود بخشد.



شکل ۶- تأثیر نانوذرات سریم و ذرات سیلیکا بر فاکتور Ra زبری سطح پوشش پلییورتان



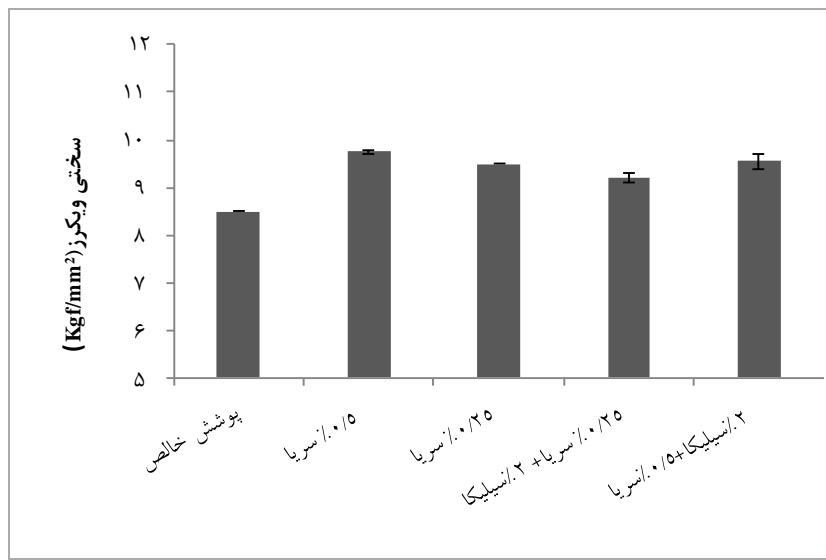
شکل ۷- تأثیر نانوذرات سریم و ذرات سیلیکا بر فاکتور Rz زبری سطح پوشش پلییورتان

به مراتب بیشتر از نانو سیلیس بود. درواقع با توجه به شکل ۷ حضور دیاکسید سریم در زمینه پلیمری پوشش پلییورتان میزان سختی را افزایش داد. استفاده از نانو دیاکسید سریم باعث بهبود سختی پوشش های پلییورتانی شد. نتایج تحقیق حاضر در تطابق با یافته های تحقیقات Saadat-Monfared و Mohseni (۲۰۱۴) است [۱۰]. مقایسه اثرات غلظت های مختلف دیاکسید سریم حاکی از بهبود عملکرد مقاومت به سختی پوشش پلییورتان در حضور غلظت های بالای سریما بود. در

پوشش نانو کامپوزیتی ترکیبی حاوی ۰/۵ درصد دیاکسید سریم همراه با ۲ درصد سیلیس نیز مقاومت پوشش پلییورتان را به میزان ۱۲ درصد افزایش داد؛ اما تیمارهای یگانه دیاکسید سریم نتایج بهتری را ارائه دادند. مقایسه پوشش های ترکیبی و پوشش شاهد حاکی از عدم تأثیر منفی بر میزان سختی پوشش ها در حضور ۲ درصد سیلیس بود؛ اما با مقایسه پوشش های ترکیبی و پوشش های خالص دیاکسید سریم می توان دریافت که تأثیر دیاکسید سریم بر بهبود سختی پوشش پلییورتان

روی همراه با ۱ الی ۲ درصد وزنی نانو سیلیکا باعث بهبود قابل توجه مقاومت به سایش، مدول یانگ و سختی در پوشش تجاری آکریلیک پایه آب شده است [۱۹ و ۲۰]. درواقع نانو دی اکسید سریم با بهبود خصوصیات مکانیکی سطح (سختی، مقاومت به خراش) زمان سرویس دهی مفید چوب را افزایش می دهد.

پژوهشی مشابه Dehoke و همکاران (۲۰۱۲) نشان دادند که استفاده از ۰/۱ درصد نانو اکسید روی میزان سختی و خراش پوشش پلی یورتان را افزایش می دهد [۱۸]. با افزایش غلظت نانو دی اکسید سریم میزان سختی پوشش ها افزایش یافت. نتایج تحقیقات Cristeaa و همکاران (۲۰۱۱، ۲۰۱۲) نشان داد که نانو ذرات اکسید



شکل ۸- تأثیر نانو ذرات سریما و ذرات سیلیکا بر مقاومت به سختی پوشش پلی یورتان

پوشش خالص و یگانه پلی یورتان داشتند، اما بیشترین میزان سختی در پوشش کامپوزیتی حاوی تنها ۰/۵ درصد دی اکسید سریم حاصل شد. میزان زبری سطح پوشش های کامپوزیتی در حضور نانو ذرات بهبود یافت. به طوری که نتایج فاکتورهای زبری حاکی از کاهش زبری سطح پوشش نانو کامپوزیت های پلی یورتانی در حضور نانو ذرات بود. استفاده ترکیبی از نانو سیلیس به همراه دی اکسید سریم زبری سطح را کاهش داد. همچنین مقایسه نیمارهای مختلف و پارامترهای زبری بهبود زبری سطح را با افزایش غلظت دی اکسید سریم تأیید کرد. با توجه به نتایج می توان دریافت که استفاده از دی اکسید سریم با کاهش زبری، افزایش چسبندگی و سختی، خواص سطحی پوشش پلی یورتان بر روی چوب اصلاح حرارتی شده را بهبود داد. به دلیل ویسکوزیته بالا و وزن مولکولی بالای رزین پلی یورتان ناشی از تشکیل اتصالات عرضی اولیه، عمق نفوذ زیادی در قسمت چوب پایانی حاصل

### نتیجه گیری

در این مطالعه خواص پوشش شفاف پلی یورتان در حضور نانو دی اکسید سریم (سریما) بر بهبود عملکرد چسبندگی، زبری سطح و سختی جهت استفاده در کاربردهای داخلی بر روی چوب اصلاح حرارتی شده موردنرسی قرار گرفت. سطح شکست بیشتر در پوشش های نانو کامپوزیتی حاکی از مقاومت بالای چسبندگی این نوع پوشش ها بود به طوری که استفاده از نانو ذرات دی اکسید سریم سبب افزایش مقاومت به چسبندگی پوشش پلی یورتان شد. با افزایش غلظت دی اکسید سریم افزایش خاصیت چسبندگی حاصل شد. استفاده از سیلیس همراه با دی اکسید سریم خاصیت چسبندگی را بهبود داد. نانو دی اکسید سریم میزان سختی پوشش پلی یورتان را بهبود بخشد. با افزایش غلظت دی اکسید سریم سختی پوشش پلی یورتان افزایش یافت. پوشش های کامپوزیتی ترکیبی خواص بهتری از

ایکس (EDS) حضور نانوذرات را در زمینه پلیمری پوشش پلی بورتان را تأیید کرد.

نشد. با این وجود با توجه به مشاهدات در قسمت چوب آغاز نفوذ اندکی مشاهده شد. نتایج طیف سنجی پراش پرتو

## منابع

- [1] Kocaebe, D., Poncsak S, Dore G. and Younsi R., 2008b. Effect of heat treatment on the wettability of white ash and soft maple by water. European Journal of Wood and Wood Products, 66(5):355–361.
- [2] Mastouri, A., Tarmian, A., Agharafiee, E., Afshar, H., Mansouryar, I. and Rashedi, K., 2015. Investigation on physical and mechanical properties of poplar Thermowood, case study: Thermo-S produced by Afshar Group Co. First National Congress of wood and lignocellulosic products, May, 7931, University of Gonbad-e Qabus. (In Persian).
- [3] El Bakali, I., Yagi, S., Hamzah, M., George, B., Merlin, A. and Deglise, X., 2014. Influence of Thermal Treatment and Impregnation on the Durability of Wood Colour. Jurnal of forest product and inidudries, 3(1): 42-49.
- [4] Nemetha, N., Tolvajb, L., Baka, M. and Alpar, T., 2016. Colour stability of oil-heat treated black locust and poplar wood during short-term UV radiation. Journal of Photochemistry and Photobiology A: Chemistry, 329: 287–292.
- [5] Kesik, H.I. and Akyildiz. H.M., 2015. Effect of the heat treatment on the adhesion strength of water based wood varnishes. Wood research,60(6): 987-994.
- [6] Kanokwijitsilp, T., Traipermc, P., Osotchana,T. and Srikririna, T., 2016. Development of abrasion resistance SiO<sub>2</sub> nanocomposite coating for teak wood. Progress in Organic Coatings, 93: 118–126.
- [7] Mills, D.J., Jamali, S.S. and Paprocka, K., 2012. Investigation into the effect of nano-silica on the protective properties of polyurethane coatings. Surface & Coatings Technology, 209: 137–142.
- [8] Jonoobi. M., Rahamin, H. and rafieyan, F.,2015. Cellulose nanocrystal properties and their applications. Iranian Journal of wood and paper industries, 6(1):167-192. (In Persian).
- [9] Kaygin, B. and Akgun, E., 2009. A nano-technological product: An innovative varnish type for wooden surfaces. Scientific Research and Essay, 4 (1): 1-7.
- [10] Saadat-Monfared, A. and Mohseni, M., 2014. Polyurethane nano composite films containing nano-cerium oxide as UVabsorber; Part 2: Structural and mechanical studies upon UV exposure. Colloids and Surfaces A: Physicochemical and Engineering Aspects, 441: 752– 757.
- [11] Sow, C., Riedl,B. and Blanchet, B., 2011. UV-waterborne polyurethane-acrylate nano composite coatings containing alumina and silica nanoparticles for wood: mechanical, optical, and thermal properties assessment. Journal of Coatings Technology and Research, 8 (2): 211–221.
- [12] Vitosyt, j., Ukvalberbergieno, k. and keturkisthe, g., 2012. Effects of Surface Roughness on Adhesion Strength of Coated Ash (*Fraxinus excelsior L.*) and Birch (*Betula L.*). Wood. Journal of Materials Science, 18(4):1392-1320.
- [13] Kollmann, F. F. P. and Cote, W. A., 1984. Principles of wood science and technology, Springer, Berlin.
- [14] Khojasteh Kosro, S., Ghofraniand, M. and Ganjaee Sari, M., 2015. The effect of adding zinc oxide nanoparticles on color change and adhesion strength of polyurethane coating on wood surfac. Iranian Journal of Wood and Paper Science Research, 30 (4):690-704.(In Persian).

- [15] Labbani Motlagha, A., Bastanib, S. and Hashemia, M M., 2014. Investigation of synergistic effect of nano sized Ag/TiO<sub>2</sub>particles on antibacterial, physical and mechanical properties of UV-curable clear coatings by experimental design. *Progress in Organic Coatings*, 77: 502– 511.
- [16] Ramezanzadeh, B. and Mohseni, M., 2012. Preparation of sol-gel based nano-structured hybrid coatings: effects of combined precursor's mixtures on coatings morphological and mechanical properties. *Journal of Sol-Gel Science and Technology*, (64):232–244.
- [17] Vlad-Cristea, M., Riedl, B., Blanchet, P. and Jimenez-Pique, E., 2012. Nano characterization techniques for investigating the durability of wood coatings. *European Polymer Journal*, (48): 441–453.
- [18] Dhone S. K., Rajgopalan, N. and Khanna, A. S., 2012. Effect of Nano-Zinc Oxide Particles on the Performance Behavior of Waterborne Polyurethane Composite Coatings. *International Journal of Material Science*, 2(2):47-55.
- [19] Cristea, M. V., Riedl, B. and Blanchet, P., 2011. Effect of addition of nanosized UV absorbers on the physico-mechanical and thermal properties of an exterior waterborne stain for wood. *Progress in Organic Coatings*, 72(4): 755-762.
- [20] Cristea, M., Riedl, B., Blanchet, P. and Jimenez-Pique, E., 2012. Nanocharacterization techniques for - investigating the durability of wood coatings. *European Polymer Journal*, 48(3): 441-453.

## The effect of cerium dioxide nanoparticles on the physical properties of polyurethane clear coating

### Abstract

In this study, the effect of nanoparticles of cerium dioxide ( $\text{CeO}_2$ ) and its combined effect with nano-silica were examined to improve the physical properties of polyurethane clear coatings on thermally modified wood of spruce (*Picea abies*). For this purpose, different formulations of polyurethane coatings containing different amounts of the nanoparticles were applied on the heat treated wood surface. The presence of nanoparticles in polyurethane nanocomposite coating structure was confirmed by energy-dispersive X-ray spectroscopy. To examine the effects of nanoparticles, adhesion, surface roughness and hardness of polyurethane coatings were assessed. The results showed that the use of cerium dioxide improved the performance of polyurethane coatings on heat treated wood by reducing roughness and increasing adhesion strength of the coating layer. In addition, the hardness of polyurethane coating layer was enhanced in the presence of cerium dioxide. Silica nanoparticle in combination with cerium dioxide inside the polymer matrix also enhanced the adhesion strength and roughness of nanocomposite coatings.

**Key words:** nanoparticles, polyurethane coating, adhesion, hardness, roughness.

A. Mastouri<sup>1</sup>  
M. Azadfallah<sup>2\*</sup>  
A. Tarmian<sup>3</sup>  
D. Efhami Sisi<sup>4</sup>

<sup>1</sup> MSc student, Wood and paper science and technology department, Natural resources faculty, University of Tehran, Karaj, Iran

<sup>2</sup> Assistant professor, Wood and paper science and technology department, Natural resources faculty, University of Tehran, Karaj, Iran

<sup>3</sup> Associate professor, Wood and paper science and technology department, Natural resources faculty, University of Tehran, Karaj, Iran

<sup>4</sup> Assistant professor, Wood and paper science and technology department, Natural resources faculty, University of Tehran, Karaj, Iran

Corresponding author:  
[adfallah@ut.ac.ir](mailto:adfallah@ut.ac.ir)

Received: 2017/03/13

Accepted: 2017/08/11